

エルニーニョの熱力学 (3)

海面水温アノマリー(SSTA)と力学的予知

El Niño Thermodynamics (3)

SSTA (°C) and dynamical prediction in Pacific Ocean

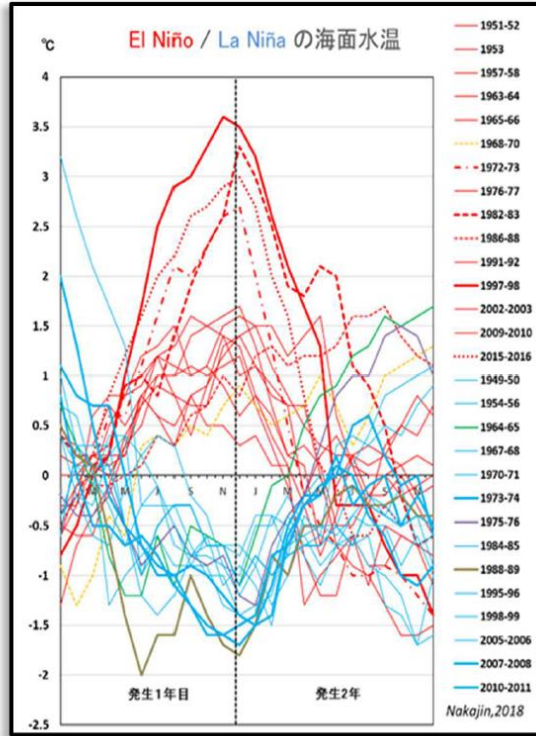


Fig.8 Sea Surface Temperature Anomaly curves (°C) in El Niño/La Niña Years. Maximum points appear in Xmas time (Nakajin, 2018).

図8. エルニーニョ・ラニーニャ年の海面水温アノマリー(°C): 両現象とも Xmas ころに最大値を示す(中陣, 2018).

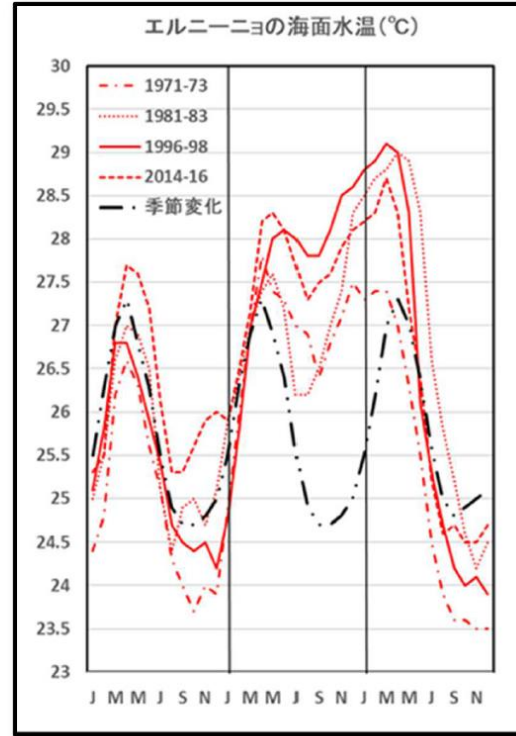


Fig.9 The seasonal sea surface temperature (°C) changes and the changes during a typical El Niño episode as measured in NINO.3. Highest temperature appeared in March of third year (Nakajin, 2018).

図9. エルニーニョの海面水温と季節的基準値(前後3年間). 3年目の水温ピークが3月に現れる(中陣, 2018).

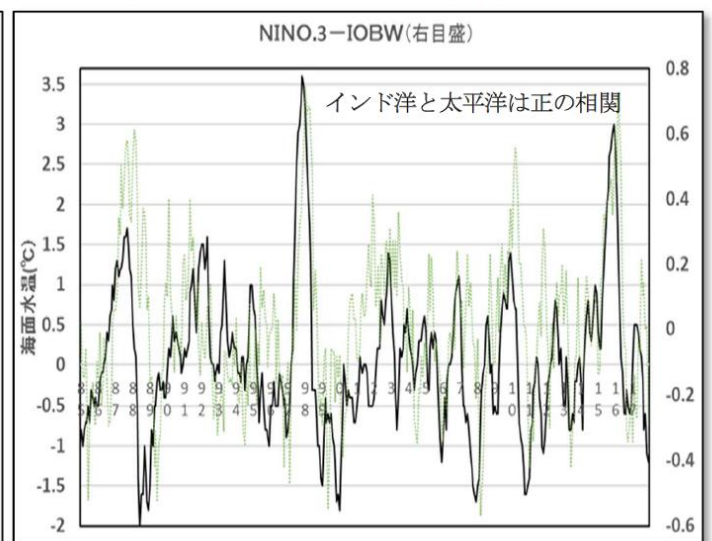
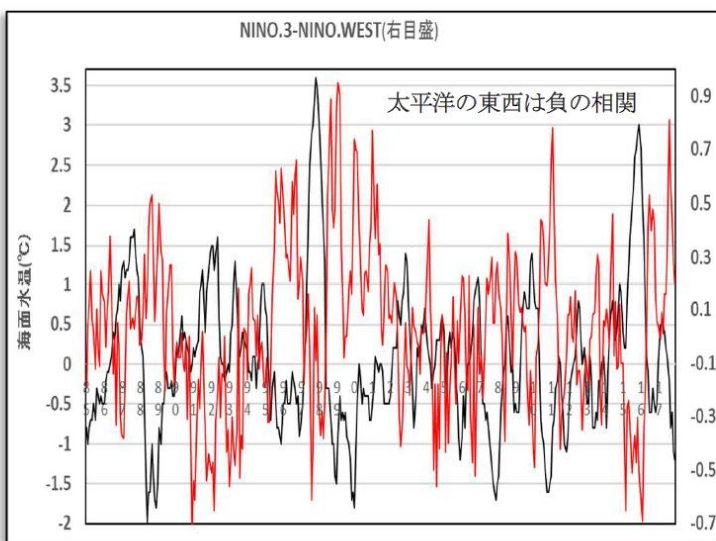


Fig.10 Comparisons with sea surface temperature anomaly(°C) (Nakajin, 2018).

Left : NINO.3 / NINO.WEST in negative correlation; Right : NINO.3 / IOWB in positive correlation.

図10. 海面水温アノマリー(SSTA)の比較 (中陣, 2018). (左) NINO.3(黒)と NINO.WEST(赤)は負の相関関係; (右) NINO.3 と IOWB(緑)は正の相関関係.

エルニーニョ現象は、地球温暖化とは別の現象ともいわれているが詳しくはまだ分かっていない。気候や大気の状態、海洋の環境は、互いに影響しあっているのので、海の生物に、海洋環境の変化や地球温暖化の影響がさらに広がる懸念される。



中陣隆夫 (東海大学)